

ห้องสมุดงานวิจัย สำนักงานคณะกรรมการวิจัยแห่งชาติ



E47328

# รายงานการติดตามผลการดำเนินการตามที่ได้รับมอบหมาย

ประจำปีงบประมาณ พ.ศ. ๒๕๕๘

ในช่วงกันยายนถึงเดือนธันวาคม ๒๕๕๘ สำนักงานคณะกรรมการวิจัยแห่งชาติได้ดำเนินการติดตามผลการดำเนินการตามที่ได้รับมอบหมาย

ด้วยการติดตามและประเมินผล ภาควิชาวิเคราะห์ผล

โดยวิเคราะห์ผลการดำเนินการ ดูแลดูเรื่องที่ได้รับมอบหมาย

ประจำปีงบประมาณ พ.ศ. ๒๕๕๘

ประจำเดือน กันยายน ๒๕๕๘

b00254816

ห้องสมุดงานวิจัย สำนักงานคณะกรรมการวิจัยแห่งชาติ



E47328

การพัฒนาโครงสร้างเชลล์สามมิติที่ทำจากไฟโนรอนจากไนน์ไทยและเจลาติน



นางสาวจิตima ชั่งทองเกษตร

วิทยานิพนธ์นี้เป็นส่วนหนึ่งของการศึกษาตามหลักสูตรปริญญาวิศวกรรมศาสตรมหาบัณฑิต  
สาขาวิชาวิศวกรรมเคมี ภาควิชาเคมี  
คณะวิศวกรรมศาสตร์ จุฬาลงกรณ์มหาวิทยาลัย  
ปีการศึกษา 2550  
ลิขสิทธิ์ของจุฬาลงกรณ์มหาวิทยาลัย



4 8 7 0 2 5 1 5 2 1

DEVELOPMENT OF THREE-DIMENSIONAL GELATIN/THAI SILK FIBROIN SCAFFOLDS

Miss Jitima Chamchongkaset

A Thesis Submitted in Partial Fulfillment of the Requirements  
for the Degree of Master of Engineering Program in Chemical Engineering  
Department of Chemical Engineering  
Faculty of Engineering  
Chulalongkorn University  
Academic Year 2007  
Copyright of Chulalongkorn University

Thesis Title                    DEVELOPMENT OF THREE-DIMENSIONAL GELATIN/THAI SILK  
                                  FIBROIN SCAFFOLDS

By                            Miss. Jitima Chamchongkaset

Field of Study                Chemical Engineering

Thesis Advisor                Associate Professor Siriporn Damrongsakkul, Ph.D.

---

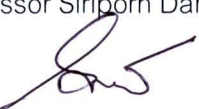
Accepted by the Faculty of Engineering, Chulalongkorn University in Partial  
Fulfillment of the Requirements for the Master 's Degree

 ..... Dean of the Faculty of Engineering  
(Professor Direk Lavansiri, Ph.D.)

THESIS COMMITTEE

 ..... Chairman  
(Associate Professor Prasert Pavasant, Ph.D.)

 ..... Thesis Advisor  
(Associate Professor Siriporn Damrongsakkul, Ph.D.)

 ..... Member  
(Sorada Kanokpanont, Ph.D.)

 ..... Member  
(Uracha Ruktanonchai, Ph.D.)

จิตima ชั่วของเกย์ตร : การพัฒนาโครงเลี้ยงเซลล์สามมิติที่ทำจากไฟโนรินจากไหมไทย และเจลาติน. (DEVELOPMENT OF THREE-DIMENSIONAL GELATIN/THAI SILK FIBROIN SCAFFOLDS) อ. ที่ปรึกษา : รศ.ดร.ศิริพร คำรงค์ศักดิ์กุล, อ.ที่ปรึกษาร่วม : PROF.DAVID L. KAPLAN, Ph.D., 106 หน้า.

**E47328**

งานวิจัยนี้มุ่งเน้นพัฒนาโครงเลี้ยงเซลล์สามมิติที่ทำจากไฟโนรินจากไหมไทย โดยนำเจลาตินซึ่งเป็นอนุพันธ์ของคอลลาเจน ที่มีความเข้ากันได้ทางชีวภาพ ไม่ก่อให้เกิดการต่อต้านภัยในร่างกาย มาผสมเพื่อช่วยเพิ่มคุณสมบัติทางชีวภาพให้กับโครงเลี้ยงเซลล์สามมิติไฟโนริน โดยโครงเลี้ยงเซลล์สามมิติจะเตรียมโดย 2 วิธีคือ วิธีการทำแห้งด้วยความเย็นและวิธีการทำจัดเกลือออก (salt-leaching) โครงเลี้ยงเซลล์สามมิติแบบทำแห้งด้วยความเย็น ถูกเตรียมจากสารละลายผสมและเข้มข้นของพันธะระหว่างสายโซ่ไมเลกูล โดยการใช้ความร้อนภายนอกเพื่อสภาวะสุญญากาศและการใช้สารเคมี ซึ่งพบว่า ลักษณะสัมฐานของโครงเลี้ยงเซลล์สามมิติไฟโนรินมีรูปที่มีความเชื่อมต่อ กัน ส่วนการทำจัดเกลือออกภายนอกจะหลังจากไฟโนรินเกิดการเจล จะได้โครงเลี้ยงเซลล์สามมิติที่มีขนาดรูปทรงประมาณ 600-710 ไมครอนตามขนาดของผลึกเกลือที่ใช้ ภายนอกการปรับปรุงพื้นผิวด้วยการถอนจูเกตเจลาตินพบว่า ลักษณะสัมฐานของโครงเลี้ยงเซลล์สามมิติไฟโนรินมีลักษณะเป็นเส้นใยที่เชื่อมต่อ กันอย่างมาก ผลการทดสอบด้วยเทคนิคฟูเริร์ทรานส์ฟอร์มอินฟราเรดสเปกโตรสโคปและเอกซเรย์ดิฟแฟร์กัชัน พิสูจน์ให้เห็นว่าโครงสร้างของไฟโนรินที่ขึ้นรูปด้วยวิธีการทำแห้งด้วยความเย็นเป็น random coil ในขณะที่การขึ้นรูปด้วยวิธีการทำจัดเกลือออกโครงสร้างของไฟโนรินมีลักษณะเป็น  $\beta$ -sheet จากการทดสอบค่านอคูลัสของการกดพบว่าโครงเลี้ยงเซลล์สามมิติที่มีปริมาณไฟโนริน 80-100 เปอร์เซ็นต์โดยน้ำหนักที่ขึ้นรูปโดยการทำแห้งด้วยความเย็นมีค่านอคูลัสประมาณ 350 กิโลปานาล และความสามารถในการบวนน้ำของโครงเลี้ยงเซลล์สามมิติดลงเมื่อปริมาณไฟโนรินเพิ่มขึ้น ในกรณีโครงเลี้ยงเซลล์ที่ผลิตโดยการทำจัดเกลือออกพบว่าการถอนจูเกตเจลาตินและการสะสมของไฮดรอกซิออกไซต์ ช่วยเสริมความแข็งแรงให้กับโครงเลี้ยงเซลล์สามมิติไฟโนริน ผลการเลี้ยงเซลล์ต้นกำเนิดจากไอกะดูกของหนูและเซลล์กระดูก (MC3T3-E1) ในระดับห้องปฏิบัติการพบว่า เซลล์ต้นกำเนิดจากไอกะดูกของหนูสามารถเจริญเติบโตได้ดีบนโครงเลี้ยงเซลล์ไฟโนรินที่ผลิตโดยการทำแห้งด้วยความเย็น นอกจากนี้พบว่า เจลาตินมีส่วนส่งเสริมการเจริญเติบโตของเซลล์กระดูกบนโครงเลี้ยงเซลล์ไฟโนริน เนื่องจากจำนวนเซลล์ที่เพิ่มขึ้นและลักษณะสัมฐานของเซลล์บนพื้นผิวของโครงเลี้ยงเซลล์ ซึ่งชัดเจนอย่างมากในกรณีของโครงเลี้ยงเซลล์ที่ผลิตโดยการทำจัดเกลือออกและถอนจูเกตเจลาติน ผลการทดลองแสดงถึงความเป็นไปได้ในการประยุกต์ใช้ไฟโนรินจากไหมไทยในงานวิศวกรรมเนื้อเยื่อ

ภาควิชา.....วิศวกรรมเคมี.....	ลายมือชื่อนิสิต.....	จิตima ชั่วของเกย์ตร
สาขาวิชา.....วิศวกรรมเคมี.....	ลายมือชื่ออาจารย์ที่ปรึกษา.....	
ปีการศึกษา.....2550.....		

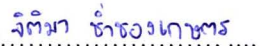
# # 4870251521 : MAJOR CHEMICAL ENGINEERING

KEY WORD: SILK FIBROIN / GELATIN / SCAFFOLD / OSTEOBLAST / TISSUE ENGINEERING

JITIMA CHAMCHONGKASET : DEVELOPMENT OF THREE-DIMENSIONAL  
GELATIN/THAI SILK FIBROIN SCAFFOLDS. THESIS ADVISOR :  
ASSOC.PROF.SIRIPORN DAMRONGSAKKUL, Ph.D., THESIS COADVISOR :  
PROF.DAVID L. KAPLAN, Ph.D., 106 pp.

**E47328**

The aim of this study was to develop three-dimensional silk fibroin-based (SF) scaffolds from Thai yellow cocoon "Nangnoi-Srisaket" of *Bombyx mori* silkworms. To enhance the biological properties of Thai silk fibroin-based scaffolds, type A gelatin, the denature form of collagen having good biocompatibility, was used to blend with silk fibroin. Three-dimensional scaffolds were prepared by two methods; freeze-drying and salt-leaching. Freeze-dried scaffolds were prepared from blended solutions and crosslinked by dehydrothermal and chemicals. It was found that pure silk fibroin scaffolds possessed highly interconnected porous network. For salt-leached scaffolds, the pore size of silk fibroin scaffold structure represented the size of salt crystals used (600-710 $\mu$ m). After gelatin conjugating, gelatin was partly formed fibers inside the pores of silk fibroin scaffolds resulting in fiber-like structure with highly interconnection. The results on ATR-FTIR and XRD proved that the structure of freeze-dried silk fibroin scaffolds was random coil while that of salt-leached silk fibroin scaffolds was  $\beta$ -sheet. The compressive modulus of freeze-dried scaffolds having high silk fibroin contents (80-100wt%) was about 350 kPa. Swelling ability of freeze-dried scaffolds decreased as increasing silk fibroin content. For salt-leached scaffolds, gelatin conjugating and hydroxyapatite deposition enhanced the compressive modulus of silk fibroin scaffolds. The results on *in vitro* culture using bone-marrow derived mesenchymal stem cells (MSCs) on freeze-dried silk fibroin showed that silk fibroin scaffolds were more effective to promote cell proliferation than pure gelatin and blended scaffolds. Mouse osteoblast-like cells (MC3T3-E1) culture showed that gelatin blending and gelatin conjugating could enhance the cell proliferation on silk fibroin scaffolds as noticed from the number of cells and the cell morphology on the surface of scaffolds. This was more distinct in the case of conjugated gelatin/silk fibroin scaffolds. The results implied that Thai silk fibroin looked promising to be applied in tissue engineering.

Department..... Chemical Engineering..... Student's signature..... 

Field of study..... Chemical Engineering..... Advisor's signature..... 

Academic year... 2007.....

## ACKNOWLEDGEMENTS

This research is completed with the aid and support of many people. The author would like to express her deepest gratitude to Associate Professor Dr. Siriporn Damrongsakkul, her advisor, for her continuous guidance, helpful suggestions and warm encouragement. She wishes to give her gratitude to Professor Dr. David L. Kaplan, the thesis co-advisor, for his kind guidance and invaluable discussions. In addition, she is also grateful to Associate Professor Dr. Prasert Pavasant, Dr. Sorada Kanokpanont and Dr. Uracha Ruktanonchai for serving as the chairman and the members of the thesis committee, respectively, whose comments were constructively and especially helpful.

The author would like to thank Associate Professor Dr. Prasit Pavasant and the Department of Anatomy, Faculty of Dentistry, Chulalongkorn University for his assistance in cell sources and Associate Professor Dr. Sanong Ekgasit and the Department of Chemistry, Faculty of Science, Chulalongkorn University for his provision of Fourier Transform Infrared (FTIR) spectrophotometer.

The author would like to thank Miss. Juthamas Ratanavaraporn for her kind attentions and suggestions in cell culture as well as facilities and Mr. Isarawut Prasertsung for his helps and suggestions with experiments.

The author would like to thank the staffs of Analytical Instrument Center and Laboratory for their helps with experiments. She would like to extend her grateful thanks to all members of Polymer Engineering Research Group and Center of Excellence on Catalysis and Catalytic Reaction Engineering at the Department of Chemical Engineering as well as all members of i-Tissue Laboratory at the Department of Medicine, Chulalongkorn University.

Finally, the author expresses her sincere thanks to her parents and everyone in her family for their unfailing understanding and affectionate encouragement.

# CONTENTS

	<b>PAGE</b>
<b>ABSTRACT (IN THAI) .....</b>	iv
<b>ABSTRACT (IN ENGLISH) .....</b>	v
<b>ACKNOWLEDGEMENTS .....</b>	vi
<b>CONTENTS .....</b>	vii
<b>LIST OF TABLES .....</b>	xi
<b>LIST OF FIGURES .....</b>	xii
<b>CHAPTER</b>	
<b>I. INTRODUCTION.....</b>	1
1.1 Background.....	1
1.2 Objectives.....	2
1.3 Scopes of research.....	3
<b>II. RELEVANT THEORY.....</b>	4
2.1 Three-dimensional scaffolds.....	4
2.2 Biomaterials for scaffold fabrication.....	4
2.2.1 Synthetic polymers.....	5
2.2.2 Inorganic materials or ceramics.....	5
2.2.3 Natural macromolecules.....	5
2.2.3.1 Silk.....	6
2.2.3.2 Gelatin.....	13
2.3 Scaffold fabrication techniques.....	16
2.3.1 Particulate leaching.....	16
2.3.2 Gas foaming.....	17
2.3.3 Fiber meshes/fiber bonding.....	17
2.3.4 Phase separation.....	18
2.3.5 Melt molding.....	18
2.3.6 Freeze drying.....	19
2.4 Crosslinking techniques.....	19
2.4.1 Ultraviolet irradiation.....	19

2.4.2 Electron beam irradiation.....	20
2.4.3 Dehydrothermal crosslinking.....	20
2.4.4 Chemical crosslinking .....	20
2.5 <i>In vitro</i> cell culture.....	21
2.5.1 Types of cell cultures.....	21
2.5.1.1 Primary cell cultures.....	21
2.5.1.2 Permanent cultures or cell lines cultures.....	22
2.5.2 MTT assay for cell viability.....	22
<b>III. LITERATURE REVIEWS.....</b>	<b>24</b>
<b>IV. EXPERIMENTAL WORK.....</b>	<b>39</b>
4.1 Materials and reagents.....	39
4.2 Equipments.....	40
4.3 Experimental procedures.....	41
4.3.1 Preparation of silk fibroin and gelatin solutions.....	42
4.3.1.1 Preparation of silk fibroin solution.....	42
4.3.1.2 Preparation of gelatin solution.....	42
4.3.2 Preparation of silk fibroin and silk fibroin-based scaffolds.....	42
4.3.2.1 Preparation of silk fibroin and gelatin/silk fibroin scaffolds via freeze-drying.....	42
4.3.2.2 Preparation of silk fibroin and conjugated gelatin/silk fibroin scaffolds via salt-leaching.....	43
4.3.2.3 Preparation of hydroxyapatite/silk fibroin and hydroxyapatite-conjugated gelatin/silk fibroin scaffolds.....	43
4.3.3 Characterization of scaffolds.....	44
4.3.3.1 Chemical characterization.....	44
4.3.3.1.1 Attenuated total reflection fourier transform infrared (ATR-FTIR) spectrophotometric measurements.....	44
4.3.3.1.2 X-ray diffraction (XRD) measurements.....	44
4.3.3.2 Physical characterization.....	44
4.3.3.2.1 Morphology.....	44

4.3.3.2.2 Compressive modulus.....	45
4.3.3.2.3 Swelling property.....	45
4.3.3.3 Biological characterization.....	45
4.3.3.3.1 MSCs isolation and culture.....	46
4.3.3.3.2 MC3T3-E1 culture.....	46
4.3.3.3.3 <i>In vitro</i> cell proliferation tests.....	46
4.3.3.3.4 MC3T3-E1 Migration and morphological observation .....	47
4.3.4 Statistical analysis.....	47
<b>V. RESULTS AND DISCUSSION.....</b>	<b>49</b>
5.1 Degummed silk fiber.....	49
5.2 Chemical characteristics of silk fibroin scaffolds.....	51
5.2.1 Structural analysis of silk fibroin scaffolds.....	51
5.2.1.1 Attenuated total reflection fourier transform infrared (ATR-FTIR) spectrophotometric analysis.....	51
5.2.1.2 X-ray diffraction (XRD) analysis.....	52
5.2.2 LiBr residual in silk fibroin scaffolds.....	55
5.3 Comparison of type A and type B gelatin blending in silk fibroin.....	55
5.4 Silk fibroin and gelatin/silk fibroin scaffolds via freeze-drying.....	61
5.4.1 Compressive modulus of scaffolds.....	61
5.4.2 Swelling property of scaffolds.....	62
5.4.3 Biological property of scaffolds.....	64
5.4.3.1 MSCs proliferation tests.....	64
5.4.3.2 MC3T3-E1 proliferation tests.....	64
5.4.3.3 MC3T3-E1 migration and morphological observation.....	67
5.5 Silk fibroin and conjugated gelatin/silk fibroin scaffolds via salt-leaching.....	71
5.5.1 Morphology of scaffolds.....	72
5.5.1.1 Hydroxyapatite/silk fibroin scaffolds.....	72
5.5.1.2 Hydroxyapatite-conjugated gelatin/silk fibroin scaffolds.....	73

5.5.2 Compressive modulus of scaffolds.....	80
5.5.3 Swelling property of scaffolds.....	82
5.5.4 Biological property of scaffolds.....	83
5.5.4.1 MC3T3-E1 proliferation tests.....	83
5.5.4.2 MC3T3-E1 migration and morphological observation.....	84
<b>VI. CONCLUSIONS AND RECOMMENDATIONS.....</b>	90
6.1 Conclusions.....	90
6.2 Recommendations.....	92
<b>REFERENCES.....</b>	93
<b>APPENDICES.....</b>	99
APPENDIX A: Raw data of compressive modulus .....	100
APPENDIX B: Raw data of swelling ratios .....	102
APPENDIX C: Standard curve of <i>in vitro</i> cell culture test.....	104
<b>VITAE.....</b>	106

## LIST OF TABLES

<b>TABLE</b>	<b>PAGE</b>
2.1 Amino Acid Compositions of <i>Bombyx mori</i> silk fibroin .....	8
2.2 Typical specifications for gelatins .....	14
2.3 Amino acids essential for humans .....	15
5.1 pI and charges of silk fibroin and gelatin .....	56
5.2 Salt-leached scaffolds prepared in this work .....	72
A-1 Mean and SD of Compressive modulus of gelatin/silk fibroin scaffolds with DHT treatment for 24 h.....	100
A-2 Mean and SD of Compressive modulus of gelatin/silk fibroin scaffolds with DHT treatment for 48 h .....	100
A-3 Mean and SD of compressive modulus of hydroxyapatite/silk fibroin scaffolds .....	100
A-4 Mean and SD compressive modulus of hydroxyapatite-conjugated gelatin/silk fibroin scaffolds.....	101
B-1 Mean and SD of swelling ratios of gelatin/silk fibroin scaffolds with DHT treatment for 24 h .....	102
B-2 Mean and SD of swelling ratios of gelatin/silk fibroin scaffolds with DHT treatment for 48 h.....	102
B-3 Mean and SD of swelling ratios of hydroxyapatite/silk fibroin scaffolds.....	102
B-4 Mean and SD of swelling ratios of hydroxyapatite-conjugated gelatin/silk fibroin scaffolds.....	103
C-1 Absorbance at 570 nm from MTT assay for standard curve of bone-marrow derived mesenchymal stem cells (MSCs).....	104
C-2 Absorbance at 570 nm from MTT assay for mouse osteoblast-like cells (MC3T3-E1).....	105

## LIST OF FIGURES

<b>FIGURE</b>	<b>PAGE</b>
2.1 $\beta$ -sheet secondary structure of silk .....	6
2.2 Structure of raw silk fiber .....	7
2.3 SEM micrographs of fiber (a) cocoon raw material, and (b) degummed fiber...10	
2.4 Illustration of a Donnan dialysis experiment to separate and concentrate uranyl nitrate, $\text{UO}_2(\text{NO}_3)_2$ .....	12
2.5 Charge mosaic membranes, consisting of finely dispersed domains containing fixed negatively and fixed positively charged groups, are salt permeable .....	13
2.6 The structural unit of gelatin .....	14
2.7 Applications of gelatin .....	16
2.8 Porous polymer foams produced by different techniques. (a) phase separation, (b) particulate leaching, (c) solid freeform fabrication technique, and (d) microsphere sintering .....	17
2.9 Crosslinking of protein with EDC and NHS .....	21
2.10 Molecular structure of MTT (3-(4, 5-dimethyl-2-thiazolyl)-2, 5-diphenyl tetrazolium bromide).....	23
4.1 Diagram of experimental procedures. ....	41
4.2 Schematic diagram of cross-sectional plane prior to observe cell-scaffold interaction.....	48
5.1 SEM micrographs of silk fiber: (a)-(b) cocoon fiber, (c)-(d) degummed silk fiber with $\text{Na}_2\text{CO}_3$ , and (e)-(f) degummed silk fiber with $\text{NaOH}$ .....	50
5.2 ATR-FTIR spectra of freeze-dried silk fibroin scaffolds from dialyzed solution (a) after freeze-drying (before any treatments), (b) after DHT treatment for 48 h, (c) after DHT and EDC treatments, and (d) air-dried silk fibroin obtained after gelling.....	53
5.3 XRD patterns of freeze-dried silk fibroin scaffolds from dialyzed solution (a) after freeze-drying (before any treatments), (b) after DHT treatment for 48 h, (c) after DHT and EDC treatment, and (d) air-dried silk fibroin	

obtained after gelling.....	54
5.4 XRD pattern of lithium bromide (LiBr) powder .....	55
5.5 SEM micrographs of freeze-dried type B gelatin/silk fibroin (GB/SF) scaffolds (a), (b) 0/100, (c)-(e) 20/80, (f)-(h) 40/60, (i)-(k) 60/40, (l)-(n) 80/20, and (o), (p) 100/0.....	57
5.6 SEM micrographs of freeze-dried type A gelatin/silk fibroin (GA/SF) scaffolds (a) 0/100, (b) 20/80, (c) 40/60, (d) 60/40, (e) 80/20, and (f) 100/0.....	60
5.7 Compressive modulus of freeze-dried gelatin/silk fibroin scaffolds with various DHT treatment periods: (♦) 24 h, and (■) 48 h.....	62
5.8 Swelling ratios of freeze-dried gelatin/silk fibroin scaffolds with various DHT treatment periods: (♦) 24 h, and (■) 48 h.....	63
5.9 Number of MSCs on freeze-dried gelatin/silk fibroin scaffolds after 3 and 7 days of the culture (seeding: $2 \times 10^4$ cells/scaffold).....	66
5.10 Number of MC3T3-E1 on freeze-dried gelatin/silk fibroin scaffolds after 1, 7 and 14 days of the culture (seeding: $2 \times 10^4$ cells/scaffold).....	67
5.11 SEM micrographs of cross-sectional plane of freeze-dried 20/80 gelatin/silk fibroin scaffolds at position (a) 1 (cell seeding side), (b) 2, (c) 3, and (d) 4 (plate-exposed side) after 14 days of MC3T3-E1 culture .....	68
5.12 SEM micrographs of cross-sectional plane of freeze-dried pure silk fibroin scaffolds at position (a) 1 (cell seeding side), (b) 2, (c) 3, and (d) 4 (plate- exposed side) after 14 days of MC3T3-E1 culture .....	69
5.13 SEM micrographs of MC3T3-E1 morphology after 14 days cultured on freeze-dried gelatin/silk fibroin scaffolds: (a) 20/80, and (b) 0/100 .....	70
5.14 SEM micrograph of NaCl crystals.....	71
5.15 SEM micrographs of silk fibroin scaffolds (a)-(c) before soaking, after (d)-(f) 2 cycles, (g)-(i) 4 cycles, and (j)-(l) 6 cycles of alternate soaking in calcium and phosphate solutions.....	75
5.16 SEM micrographs of hydroxyapatite crystals in silk fibroin scaffolds (a)-(b) 2 cycles, (c)-(d) 4 cycles, and (e)-(f) 6 cycles of alternate soaking.....	76
5.17 SEM micrographs of conjugated gelatin/silk fibroin scaffolds (a)-(c) before soaking, after (d)-(f) 2 cycles, (g)-(i) 4 cycles, and (j)-(l) 6 cycles of alternate soaking in calcium and phosphate solutions.....	77

5.18 SEM micrographs of hydroxyapatite crystals in conjugated gelatin/silk fibroin scaffolds (a)-(b) 2 cycles, (c)-(d) 4 cycles, and (e)-(f) 6 cycles of alternate soaking.....	78
5.19 Increasing weights of scaffolds as a function of alternate soaking cycles (♦) silk fibroin scaffolds, and (■) conjugated gelatin/silk fibroin scaffold.....	79
5.20 Compressive modulus of (♦) hydroxyapatite/silk fibroin scaffolds, and (■) hydroxyapatite-conjugated gelatin/silk fibroin scaffolds.....	81
5.21 Swelling properties of (♦) hydroxyapatite/silk fibroin scaffolds, and (■) hydroxyapatite-conjugated gelatin/silk fibroin scaffolds.....	83
5.22 Number of MC3T3-E1 on hydroxyapatite/silk fibroin scaffolds, and hydroxyapatite-conjugated gelatin/silk fibroin scaffolds after 1, 7 and 14 days of the culture (seeding: $2 \times 10^4$ cells/scaffold).....	86
5.23 SEM micrographs of cross-sectional plane of silk fibroin scaffolds at position (a) 1 (cell seeding side), (b) 2, (c) 3, and (d) 4 (plate-exposed side) after 14 days of MC3T3-E1 culture .....	87
5.24 SEM micrographs of cross-sectional plane of conjugated-gelatin silk fibroin scaffolds at position (a) 1 (cell seeding side), (b) 2, (c) 3, and (d) 4 (plate- exposed side) after 14 days of MC3T3-E1 culture .....	88
5.25 SEM micrographs of cell morphology on scaffolds: (a) silk fibroin, and (b) conjugated-gelatin silk fibroin after 14 days of MC3T3-E1 culture .....	89
C-1 Standard curve for MSCs.....	104
C-2 Standard curve for MC3T3-E1.....	105